

การเติร์ยมฟิล์มพอลิเอทิลีนความหนาแน่นต่ำ เชิงเส้นที่อยู่อย่างทางชีวภาพ
โดยใช้เจลาตินเป็นตัวเติม

นัชชาพร ประภาวดี

ศูนย์วิทยทรัพยากร

อุดรธานีมหาวิทยาลัย
วิทยานิพนธ์เป็นส่วนหนึ่งของการศึกษาตามหลักสูตรปริญญาวิทยาศาสตร์บัณฑิต
สาขาวิชาวิทยาศาสตร์พอลิเมอร์ประยุกต์และเทคโนโลยีสิ่งทอ ภาควิชาวัสดุศาสตร์
คณะวิทยาศาสตร์ จุฬาลงกรณ์มหาวิทยาลัย

ปีการศึกษา 2544

ISBN 974-03-0398-6

ลิขสิทธิ์ของจุฬาลงกรณ์มหาวิทยาลัย

PREPARATION OF BIODEGRADABLE LINEAR LOW DENSITY POLYETHYLENE FILMS
USING GELATIN AS A FILLER

Miss Nutchaporn Praparat

ศูนย์วิทยทรัพยากร

A Thesis Submitted in Partial Fulfillment of the Requirements
for the Degree of Master of Science in Applied Polymer Science and Textile Technology

Department of Materials Science

Faculty of Science

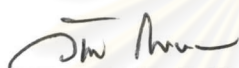
Chulalongkorn University

Academic year 2001

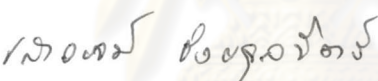
ISBN 974-03-0398-6

หัวข้อวิทยานิพนธ์ การเตรียมฟิล์มพอลิเอทิลีนความหนาแน่นต่ำเชิงเส้นที่อยู่อย่าง
ทางชีวภาพโดยใช้เจลาตินเป็นตัวเติม
โดย นางสาว นัชชาพร ประภาตัน
สาขาวิชา วิทยาศาสตร์พอลิเมอร์ประยุกต์และเทคโนโลยีสิ่งทอ^{รับบันทึก}
อาจารย์ที่ปรึกษา อาจารย์ ดร. ดวงดาว อาจองค์

คณะกรรมการจุฬาลงกรณ์มหาวิทยาลัย อนุมัติให้นับวิทยานิพนธ์นับเป็นส่วนหนึ่ง
ของการศึกษาตามหลักสูตรปริญญามหาบัณฑิต


..... คณบดีคณะวิทยาศาสตร์
(รองศาสตราจารย์ ดร. วนัชัย พ็อทพิจตร)

คณะกรรมการสอบวิทยานิพนธ์


..... ประธานกรรมการ
(รองศาสตราจารย์ เสาวรัตน์ ชัยจุลจิตร)


..... อาจารย์ที่ปรึกษา
(อาจารย์ ดร. ดวงดาว อาจองค์)


..... กรรมการ
(รองศาสตราจารย์ ไพบูลย์ สันติสุข)


..... กรรมการ
(อาจารย์ ดร. วิมลวรรณ พิมพ์พันธ์)

นางสาวนัชชาพร ประภาตัน : การเตรียมพิล์มโพลีอีทิลีนความหนาแน่นต่ำเชิงเส้นที่ย่อยสลายทางชีวภาพโดยใช้เจลาตินเป็นตัวเติม. (PREPARATION OF BIODEGRADABLE LINEAR LOW DENSITY POLYETHYLENE FILMS USING GELATIN AS A FILLER) อ.ที่ปรึกษา : อ.ดร. ดวงดาว อาจองค์, 164 หน้า. ISBN 974-03-0398-6.

ในงานวิจัยนี้ได้ทำการเตรียมพิล์มที่สามารถสลายตัวทางชีวภาพชนิดใหม่จากโพลีอีทิลีนความหนาแน่นต่ำเชิงเส้นและเจลาติน โดยมีโพลีอีทิลีนกราฟต์มาเลอิกแคนไอกไทร์ด เป็นสารช่วยผสม ที่ปริมาณ 5 10 และ 15 เปอร์เซ็นต์โดยน้ำหนักของเจลาติน จากการวิเคราะห์ทางความร้อนของพิล์มโพลีอีทิลีนความหนาแน่นต่ำเชิงเส้นผสมเจลาตินที่เตรียมได้ด้วยเครื่อง DSC และ TGA พบร่วมพิล์มพลาสติกดังกล่าวมีเสถียรภาพทางความร้อนสูงขึ้น และเมื่อทดสอบความทนแรงดึงด้วยเครื่อง universal testing machine พบร่วมพิล์มพลาสติกผสมเจลาตินมีความทนแรงดึงและความสามารถในการยืดดึงลดลงอย่างมากเมื่อปริมาณเจลาตินสูงขึ้น แต่เมื่อเติมสารช่วยผสมลงไป สมบัติความทนแรงดึงของพิล์มพลาสติกลดลงเล็กน้อย หรือกล่าวได้ว่าความทนแรงดึงของพิล์มที่มีสารช่วยผสมมีค่าสูงกว่าพิล์มที่ไม่ได้เติมสารช่วยผสมนั่นเอง

จากการทดสอบความสามารถในการย่อยสลายทางชีวภาพด้วยการใช้ activated sludge และเอนไซม์ พบร่วม สมบัติทางกายภาพและสมบัติความทนแรงดึงของพิล์มโพลีอีทิลีนความหนาแน่นต่ำเชิงเส้นที่ผสมเจลาตินลดลง ซึ่งสังเกตได้จากน้ำหนักพิล์มที่ลดลง นอกจากนี้เมื่อตรวจสอบสภาพและลักษณะพื้นผิวภายนอกของพิล์มด้วย SEM พบร่วมมีรูพุ่นขนาดเล็กกระจายอยู่ทั่วไปในพิล์ม ซึ่งเป็นสาเหตุทำให้สมบัติความทนแรงดึงของพิล์มลดลง โดยพบว่าเมื่อปริมาณของเจลาตินเพิ่มมากขึ้น สมบัติต่างๆเหล่านี้ลดลงอย่างเห็นได้ชัด และเมื่อเปรียบเทียบระหว่างพิล์มที่มีสารช่วยผสมและพิล์มที่ไม่มีสารช่วยผสมพบว่า พิล์มที่มี PE-g-MA เป็นสารช่วยผสมมีแนวโน้มที่จะด้านทานหรือสามารถทานทานต่อการสลายตัวทางชีวภาพ กล่าวโดยสรุปพิล์มโพลีอีทิลีนผสมเจลาติน 10 เปอร์เซ็นต์โดยน้ำหนัก จะมีลักษณะทางกายภาพและสมบัติความทนแรงดึงอยู่ในเกณฑ์ดี และยังมีความสามารถในการย่อยสลายทางชีวภาพที่น่าพอใจอีกด้วย

ภาควิชาวัสดุศาสตร์

สาขาวิชาพอลิเมอร์ประยุกต์ฯ ลายมือชื่อนิสิต..... ห๊ะก๊ะ นรภารัตน์

ปีการศึกษา 2544 ลายมือชื่ออาจารย์ที่ปรึกษา..... อ.ดร. อรุณรัตน์

4272314223 : MAJOR APPLIED POLYMER SCIENCE AND TEXTILE TECHNOLOGY

KEYWORD: GELATIN / BIODEGRADATION / LLDPE

NUTCHAPORN PRAPARAT : PREPARATION OF BIODEGRADABLE LINEAR
LOW DENSITY POLYETHYLENE FILMS USING GELATIN AS A FILLER.
THESIS ADVISOR : Dr. DUANGDAO AHT-ONG, 164 pp. ISBN 974-03-0398-6

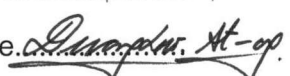
In this research, novel biodegradable films were prepared from linear low density polyethylene (LLDPE) and gelatin using PE-g-MA as a compatibilizer at three different amounts : 5,10, and 15 % by weight of gelatin. Thermal properties of gelatin/LLDPE films were characterized by differential scanning calorimeter (DSC) and thermogravimetric analyzer (TGA) . From the TGA thermograms, the results showed that thermal stability of the LLDPE films increased with the addition of gelatin. In addition, it was clear that both tensile strength and elongation at break of the gelatin/LLDPE films decreased when the amount of gelatin increased. It was observed, however, that as the amount of compatibilizer increased, the aforementioned tensile properties of the gelatin/LLDPE films only slightly decreased. In other words, the tensile properties of the compatibilized gelatin/LLDPE films were greater than those uncompatibilized films.

The biodegradation of gelatin/LLDPE films was investigated by activated sludge and enzymatic degradation methods. It was found that the physical properties and tensile properties of the gelatin/LLDPE films deteriorated upon degradation, as evidenced by the increasing in weight loss of the blend films. Besides, an investigation of surface morphology by SEM revealed many microscopic holes randomly scattering in the film, resulting in the decrease in tensile properties. These properties dramatically decreased with increasing the amount of gelatin. Comparing between the compatibilized and uncompatibilized blend films, films containing PE-g-MA as a compatibilizer had the tendency to resist the biodegradation. In conclusion, the LLDPE film containing 10% gelatin showed desirable physical appearance, good tensile properties, and high capability to biodegradation.

Department Materials Science

Student's signature.....Nutchaporn Praparat

Field of study Applied Polymer Science and Textile Technology

Advisor's signature.....

Academic year 2001

กิตติกรรมประกาศ

วิทยานิพนธ์ฉบับนี้สำเร็จลุล่วงตามวัตถุประสงค์ที่ตั้งไว้ได้อย่างสมบูรณ์นั้นเป็นเพราะได้รับคำแนะนำด้านวิชาการ ความเชื่อเพื่อด้านเครื่องมือ วัตถุศิบ และสถานที่สำหรับทำวิทยานิพนธ์ อีกทั้งยังได้รับความช่วยเหลือและแนะนำในการทำวิทยานิพนธ์จากผู้ทรงคุณวุฒิในด้านต่างๆ เป็นอย่างดี

ข้าพเจ้าจึงได้ขอขอบพระคุณ อ.ดร. ดวงดาว ออาจองค์ ออาจารย์ที่ปรึกษาวิทยานิพนธ์ ที่ให้คำปรึกษาในการแก้ปัญหาและแนะนำแนวทางในการทำวิทยานิพนธ์ รวมถึงการจัดทำวิทยานิพนธ์ฉบับสมบูรณ์

นอกจากนี้ ขอขอบพระคุณ รศ. เสาร์จัน ชัยจุลจิตร์ ประธานกรรมการสอบวิทยานิพนธ์ รศ. ไพบูลย์ สันติสุข รศ. อรอนุชา สรวนารี และอ.ดร. วิมลวรรณ พิมพ์พันธุ์ กรรมการสอบวิทยานิพนธ์ที่ให้คำแนะนำและตรวจสอบการจัดทำวิทยานิพนธ์ฉบับสมบูรณ์

ขอขอบคุณภาควิชาวสัคุศาสตร์ คณะวิทยาศาสตร์ จุฬาลงกรณ์มหาวิทยาลัย วิทยาลัยปิโตรเลียมและปิโตรเคมี จุฬาลงกรณ์มหาวิทยาลัย ศูนย์เทคโนโลยีโลหะและวัสดุแห่งชาติ และศูนย์เครื่องมือวิจัยวิทยาศาสตร์และเทคโนโลยี จุฬาลงกรณ์มหาวิทยาลัย ที่เชื้อเพื่อสถานที่และเครื่องมือในการทำวิจัย และขอขอบคุณเจ้าหน้าที่จากสถาบันต่างๆทุกท่านที่ให้ความช่วยเหลือเป็นอย่างดี

ขอขอบคุณคุณกัญจนा บุญยืนวิทย์ บริษัทไทยนามพลาสติก จำกัด ที่ให้ความอนุเคราะห์เครื่องผสม 2 ลูกกลิ้งในการขึ้นรูปฟิล์มพลาสติก และคุณพิชัย อุดมภานันท์ กรรมการผู้จัดการบริษัท ยูไนเต็ด เทกซ์ไทร์ มิลล์ จำกัด ที่ให้ความอนุเคราะห์น้ำจากบ่อบัน้ำเสียเพื่อใช้ในการปั้อยสายฟิล์มพลาสติกในงานวิจัยนี้

และขอขอบคุณบริษัท ไทยโพลิเอทีลีน จำกัด ที่ให้ความอนุเคราะห์เม็ดพลาสติกที่ใช้ในการทำวิทยานิพนธ์ อีกทั้งบริษัท โกลดัก ประเทศสหรัฐอเมริกา ที่ให้ความอนุเคราะห์เจลติน และบริษัท ดูปองต์ ประเทศสหรัฐอเมริกา ที่ให้ความอนุเคราะห์สารช่วยผสานพอลิเอทีลีนกราฟต์มาเลอิกแอกไซไดร์ด ที่ใช้ในงานวิจัยครั้งนี้

ท้ายสุดนี้ขอขอบคุณ พida มาрадา ที่ให้การสนับสนุนและให้กำลังใจในการทำวิทยานิพนธ์ตลอดมา ขอบคุณเพื่อนๆ นิสิตภาควิชาวสัคุศาสตร์ และวิทยาลัยปิโตรเลียมและปิโตรเคมีที่ให้ความช่วยเหลือทั้งกำลังกายกำลังใจในการทำวิทยานิพนธ์จนสำเร็จลุล่วงด้วยดี อีกทั้งอาจารย์ทุกท่านที่ช่วยประสิทธิ์ประสานวิชาความรู้ให้แก่ข้าพเจ้าจนสามารถสร้างสรรค์วิทยานิพนธ์ฉบับนี้ได้สำเร็จ

สารบัญ

	หน้า
บทคัดย่อภาษาไทย.....	๑
บทคัดย่อภาษาอังกฤษ.....	๑
กิตติกรรมประกาศ.....	๑
สารบัญ.....	๗
สารบัญตาราง.....	๙
สารบัญรูป.....	๑๐

บทที่

1 บทนำ.....	1
2 วารสารบริษัทศน์	4
2.1 พิล์มพลาสติกในงานบรรจุภัณฑ์.....	4
2.1.1 พอลิเอทิลีนชนิดความหนาแน่นต่ำเชิงเส้น	5
2.2 กระบวนการย่อยสลาย	8
2.3 พอลิเมอร์ที่สามารถย่อยสลายได้.....	14
2.3.1 แป้ง	15
2.3.2 เจลาติน.....	16
2.4 กระบวนการและความสามารถในการสลายตัว	21
2.5 การปรับปรุงความสามารถในการเข้ากันระหว่างพอลิเมอร์ 2 ชนิด	24
2.6 กระบวนการผสมและขึ้นรูป.....	26
2.5.1 การผสม Blending	27
2.5.2 การผสม Compounding	28
3 การทดลอง	30
3.1 ขอบเขตการทดลอง.....	30
3.2 การเตรียมพิล์มพอลิเอทิลีนชนิดความหนาแน่นต่ำเชิงเส้นผสมเจลาติน.....	32

สารบัญ (ต่อ)

บทที่		หน้า
	3.2.1 การเตรียมเจลอาติน.....	32
	3.2.2 การทดสอบและขึ้นรูปฟิล์มพลาสติก.....	33
3.3	การเตรียมฟิล์มพลาสติกระหว่างพอลิเอทิลีนชนิดความหนาเน่นต่ำ เชิงเส้นกับเจลอาตินที่ผ่านการดัดแปลงเคมีโดยการใช้เอสเทอร์ของกรดไขมัน	33
	3.3.1 การลังเคราะห์ N-Hydroxysuccinimide Ester ของกรดลอริก	34
	3.3.2 การดัดแปลงเคมีของเจลอาตินด้วยเอสเทอร์ของกรดลอริก	35
	3.3.3 การขึ้นรูปฟิล์มพลาสติก LLDPE ผสมเจลอาตินที่ผ่านการดัดแปลงเคมีด้วยเอสเทอร์ของกรดลอริก	36
3.4	การวิเคราะห์สมบัติของเจลอาติน	37
	3.4.1 การวิเคราะห์สมบัติของเจลอาตินภายหลังการบด	38
	3.4.1.1 การตรวจสอบลักษณะ รูปร่าง และขนาดอนุภาคของเจลอาตินด้วยกล้องจุลทรรศน์อิเลคทรอนแบบสองกราด	37
	3.4.1.2 การทดสอบหากความหนาแน่น	38
	3.4.1.3 การตรวจสอบโครงสร้างทางเคมีด้วยเทคนิค FT-IR	39
	3.4.1.4 การตรวจสอบสมบัติทางความร้อนของเจลอาติน.....	39
	3.4.1.4.1 การตรวจสอบด้วยเครื่องเทอร์โมกราวิเมตريك เอกนาไลเซอร์	39
	3.4.1.4.2 การตรวจสอบด้วยเครื่องดิฟเฟอเรนเชียลสแกนนิ่ง คอลอวิมเตอร์.....	40
	3.4.2 การวิเคราะห์สมบัติของเจลอาตินที่ผ่านการดัดแปลงเคมีด้วยเอสเทอร์ของกรดไขมัน.....	40
	3.4.2.1 การตรวจสอบด้วยเครื่องเทอร์โมกราวิเมตريكเอกนาไลเซอร์... 40	
	3.4.2.2 การตรวจสอบด้วยเครื่องดิฟเฟอเรนเชียลสแกนนิ่ง คอลอวิมเตอร์.....	40

สารบัญ (ต่อ)

บทที่	หน้า
3.5 การตรวจสอบและวิเคราะห์สมบัติของพิล์มพลาสติก LLDPE ผสมเจลาติน ...	40
3.5.1 การตรวจสอบความสามารถในการเข้ากันได้ของ LLDPE และเจลาตินด้วย SEM	41
3.5.2 การวิเคราะห์สมบัติทางความร้อน..... 3.5.2.1 การตรวจสอบด้วยเครื่องเทอร์โมกราฟิเมตريكเอนาไลเซอร์. 41 3.5.2.2 การตรวจสอบด้วยเครื่องติพเพอเรนเทียลสแกนนิ่ง คลอริมิเตอร์.....	41
3.5.3 การทดสอบสมบัติเชิงกลของพิล์มพลาสติก	42
3.6 การทดสอบความสามารถในการย่อยสลายได้ทางชีวภาพของพิล์มพลาสติก LLDPE ผสมเจลาติน.....	42
3.6.1 การย่อยสลายด้วยวิธีการใช้น้ำจากบ่อบำบัดน้ำเสีย ระบบตะกอนเง่า.....	42
3.6.2 การย่อยสลายด้วยวิธีการใช้ออนไซม์	43
3.7 การตรวจสอบความสามารถในการย่อยสลายด้วยวิธี การใช้ activated sludge และวิธีการใช้ออนไซม์	44
4 ผลการทดลองและวิจารณ์ผล	46
4.1 สมบัติของเจลาติน	46
4.1.1 สมบัติทางกายภาพของเจลาติน	46
4.1.2 โครงสร้างทางเคมีของเจลาติน.....	48
4.1.3 สมบัติทางความร้อนของเจลาติน..... 4.1.3.1 Thermogravimetric Analysis	50
4.1.3.2 Differential Scanning Calorimeter.....	51
4.2 สมบัติของเจลาตินที่ผ่านการตัดเป็นทางเคมีด้วยเօสເທອຣ์ของกรดอრิก.....	52
4.2.1 โครงสร้างของເօສເທອຣ์ของกรดอริก.....	52
4.2.2 สมบัติทางความร้อน	53
4.2.2.1 Thermogravimetric Analysis	53
4.2.2.2 Differential Scanning Calorimeter	54

สารบัญ (ต่อ)

บทที่	หน้า
4.3 สมบัติของฟิล์มพลาสติก LLDPE ผสมเจลาติน	56
4.3.1 ลักษณะพื้นผิวของฟิล์มพลาสติกด้วย SEM	56
4.3.2 สมบัติทางความร้อนของฟิล์มพลาสติก LLDPE ผสมเจลาติน	62
4.3.2.1 Thermogravimetric Analysis	62
4.3.2.2 Differential Scanning Calorimeter.....	67
4.3.3 ผลการทดสอบสมบัติความทนแรงดึง	72
4.4 ผลการทดสอบความสามารถในการย่อยสลายได้ทางชีวภาพ ของฟิล์มพลาสติก LLDPE ผสมเจลาติน.....	79
4.4.1 ความสามารถในการย่อยสลายของฟิล์มพลาสติก โดยวิธีการใช้ activated sludge.....	79
4.4.1.1 ลักษณะพื้นผิวของฟิล์ม	80
4.4.1.2 เปอร์เซ็นต์ของน้ำหนักที่สูญเสียไปของฟิล์มพลาสติก	86
4.4.1.3 สมบัติความทนต่อแรงดึง	90
4.4.2 ความสามารถในการย่อยสลายของฟิล์มพลาสติก โดยวิธีการใช้เอนไซม์	97
4.4.2.1 ลักษณะพื้นผิวของฟิล์ม	97
4.4.2.2 เปอร์เซ็นต์ของน้ำหนักที่สูญเสียไปของฟิล์มพลาสติก	103
4.4.2.3 สมบัติความทนต่อแรงดึง	107
5 สรุปผลการทดลองและข้อเสนอแนะ	113
5.1 สรุปผลการทดลอง	113
5.2 ข้อเสนอแนะ	116
รายการอ้างอิง.....	117
ภาคผนวก.....	120
ประวัติผู้เขียนวิทยานิพนธ์.....	164

สารบัญตาราง

	หน้า
ตารางที่ 2.1 ความหนาแน่นของพอลิเอทธิลีนชนิดต่างๆ	7
ตารางที่ 2.2 สมบัติของ LLDPE เปรียบเทียบกับ LDPE	7
ตารางที่ 2.3 พลังงานที่ใช้สลายพันธะต่างๆ	9
ตารางที่ 2.4 ความไวต่อแสงของพอลิเมอร์แต่ละชนิด	12
ตารางที่ 4.1 อุณหภูมิการสลายตัวและน้ำหนักที่เปลี่ยนแปลงไป (%) ของฟิล์มพลาสติก LLDPE ผสมเจลาตินที่ปริมาณต่างๆ กัน	63
ตารางที่ 4.2 อุณหภูมิการสลายตัวและน้ำหนักที่เปลี่ยนแปลงไป (%) ของฟิล์มพลาสติก LLDPE ผสมเจลาติน 10% โดยน้ำหนัก ที่ปริมาณสารช่วยผสมต่างๆ กัน.....	66
ตารางที่ 4.3 ผลการวิเคราะห์ด้วยเทคนิค DSC ของฟิล์มพลาสติก LLDPE ที่ปริมาณเจลาตินต่างๆ กัน	69
ตารางที่ 4.4 ผลการวิเคราะห์ด้วยเทคนิค DSC ของฟิล์มพลาสติก LLDPE ผสมเจลาติน 10% โดยน้ำหนัก ที่ปริมาณสารช่วยผสมต่างๆ กัน	70

**ศูนย์วิทยทรัพยากร
จุฬาลงกรณ์มหาวิทยาลัย**

สารบัญรูป

หน้า

รูปที่ 2.1	บริษัทการใช้พลาสติกในอุตสาหกรรมบรรจุภัณฑ์ของประเทศไทย ตั้งแต่ปี 2541-2543	4
รูปที่ 2.2	โครงสร้างจำลองแสดงกิ่งก้านสาขางอก polymethyl ต่างๆ	
	A. พอลิเอทิลีนความหนาแน่นต่ำ (LDPE)	
	B. พอลิเอทิลีนความหนาแน่นสูง (HDPE)	
	C. พอลิเอทิลีนความหนาแน่นต่ำ เชิงเส้น (LLDPE)	6
รูปที่ 2.3	การขาดของพันธะในโครงสร้างหลักของโมเลกุลขนาดใหญ่	8
รูปที่ 2.4	กลไกการสลายตัวโดยใช้แสง	13
รูปที่ 2.5	โครงสร้างทางเคมีของแป้ง	15
รูปที่ 2.6	โครงสร้างของพันธะเปปไทด์	17
รูปที่ 2.7	โครงสร้างของกรดอะมิโน	17
รูปที่ 2.8	ขั้นตอนการย่อยสลาย	22
รูปที่ 2.9	หม้อบดผสม	27
รูปที่ 2.10	เครื่องผสม 2 ลูกกลิ้ง	28
รูปที่ 3.1	แผนภาพขอบเขตการทดลอง	31
รูปที่ 4.1	ภาพเปรียบเทียบระหว่างเจลาตินก่อนบดและหลังบด	47
รูปที่ 4.2	ภาพถ่ายด้วย SEM ของเจลาตินที่ผ่านการบดแล้ว ที่กำลังขยาย 100 และ 600 เท่า	47
รูปที่ 4.3	ไดอะแกรมแสดงโครงสร้างทางเคมีของเจลาตินด้วย FTIR	48
รูปที่ 4.4	โครงสร้างของกรดอะมิโน 18 ชนิด	47
รูปที่ 4.5	ไดอะแกรมแสดงผลการตรวจสอบเจลาตินด้วยเทคนิค TGA	50
รูปที่ 4.6	ไดอะแกรมแสดงผลการตรวจสอบสมบัติทางความร้อนด้วย DSC	51
รูปที่ 4.7	โครงสร้างทางเคมีของ N-Hydroxysuccinimide Ester of Luaric Acid	53
รูปที่ 4.8	ไดอะแกรมแสดงผลการวิเคราะห์ N-Hydroxysuccinimide Ester of Luaric Acid ด้วยเทคนิค FT-IR	53
รูปที่ 4.9	ไดอะแกรมแสดงผลการวิเคราะห์สมบัติทางความร้อนของเจลาตินที่ผ่าน การดัดแปลงเคมี ด้วยเทคนิค TGA	54

สารบัญรูป(ต่อ)

	หน้า
รูปที่ 4.10 ไดอะแกรมแสดงผลการวิเคราะห์สมบัติทางความร้อนของเจลาตินที่ผ่านการดัดแปลงด้วย เทคนิค DSC	55
รูปที่ 4.11 ภาพถ่ายด้วย SEM ของฟิล์มพลาสติก LLDPE ผสมเจลาตินที่ไม่ได้เติมสารช่วยผสม (ก) 0% เจลาติน (ข) 5% เจลาติน (ค) 10% เจลาติน (ง) 15% เจลาติน (จ) 20% เจลาติน	58
รูปที่ 4.12 ภาพถ่ายภาคตัดขวางของฟิล์มพลาสติก LLDPE ผสมเจลาติน ที่ปริมาณ 5% และ 20% โดยน้ำหนัก	59
รูปที่ 4.13 ภาพถ่ายด้วย SEM ของฟิล์มพลาสติก LLDPE ผสมเจลาติน ที่ปริมาณ 10% โดยน้ำหนัก ที่เติมสารช่วยผสมปริมาณต่างๆกัน (ก) 0% PE-g-MA (ข) 5% PE-g-MA (ค) 10% PE-g-MA (ง) 15% PE-g-MA.....	61
รูปที่ 4.14 ภาพถ่ายภาคตัดขวางของฟิล์มพลาสติกผสมเจลาติน 10% โดยน้ำหนัก ที่เติมสารช่วยผสม PE-g-MA 15%โดยน้ำหนักของเจลาติน.....	61
รูปที่ 4.15 ปฏิกิริยาระหว่างพอลิเอทธิลีนกราฟต์มาเลอิกเอนไฮดรอยด์กับเจลาติน	62
รูปที่ 4.16 ไดอะแกรมแสดงผลการตรวจสอบอุณหภูมิการสลายตัวของฟิล์มพลาสติก ด้วยเทคนิค TGA ที่ปริมาณเจลาตินต่างๆกัน.....	63
รูปที่ 4.17 ไดอะแกรมแสดงผลการตรวจสอบอุณหภูมิการสลายตัวของฟิล์มพลาสติก ด้วยเทคนิค TGA ที่ปริมาณสารช่วยผสมต่างๆกัน.....	65
รูปที่ 4.18 ไดอะแกรมแสดงอุณหภูมิการหลอมเหลวของฟิล์มพลาสติก ที่ปริมาณเจลาตินต่างๆกัน	68
รูปที่ 4.19 ไดอะแกรมแสดงอุณหภูมิการเกิดผลึกของฟิล์มพลาสติก ผสมเจลาตินที่ปริมาณต่างๆกัน	68
รูปที่ 4.20 อุณหภูมิการหลอมเหลวของฟิล์มพลาสติกผสมเจลาติน 10% โดยน้ำหนัก ที่ปริมาณสารช่วยผสมต่างๆ กัน 5 10 และ 15% โดยน้ำหนักของเจลาติน	69
รูปที่ 4.21 อุณหภูมิการเกิดผลึกของฟิล์มพลาสติกผสมเจลาติน 10% โดยน้ำหนัก ที่ปริมาณสารช่วยผสมต่างๆ กัน 5 10 และ 15% โดยน้ำหนักของเจลาติน	70
รูปที่ 4.22 กราฟแสดงความสัมพันธ์ระหว่างความเค็มและความเครียดของฟิล์มพลาสติก ที่ปริมาณเจลาตินต่างๆกัน (ก) 0% (ข) 5% (ค) 10% (ง) 20%	73
รูปที่ 4.23 กราฟแสดงผลของปริมาณของเจลาตินที่มีต่อค่าความหนาแรงดึง	75

สารบัญรูป(ต่อ)

	หน้า
รูปที่ 4.24 กราฟแสดงผลของปริมาณของเจลอาตินที่มีต่อความสามารถในการยึดดึง.....	75
รูปที่ 4.25 กราฟแสดงผลของปริมาณของเจลอาตินที่มีต่อค่าโมดูลส์ยึดหยุ่น.....	76
รูปที่ 4.26 กราฟแสดงผลของปริมาณสารช่วยผสมที่มีต่อค่าความหนาแนงดึง.....	77
รูปที่ 4.27 กราฟแสดงผลของปริมาณสารช่วยผสมที่มีต่อความสามารถในการยึดดึง.....	77
รูปที่ 4.28 กราฟแสดงความสามารถในการยึดดึงของสารช่วยผสมชนิดต่างๆ.....	78
รูปที่ 4.29 กราฟแสดงผลของปริมาณสารช่วยผสมที่มีต่อค่ามอดูลส์ยึดหยุ่น.....	78
รูปที่ 4.30 ภาพถ่ายพิล์มพลาสติกที่ปริมาณเจลอาตินต่างๆกันภายหลังการย่อยสลาย ด้วยวิธีการใช้ activated sludge เป็นเวลา 4 สัปดาห์.....	80
รูปที่ 4.31 ภาพถ่ายด้วย SEM ของพิล์มพลาสติกผสมเจลอาติน 10% ภายหลังการย่อยสลาย ด้วยวิธีการใช้ activated sludge เป็นระยะเวลา (ก) 5% เจลอาติน (ข) 10% เจลอาติน (ค) 20% เจลอาติน.....	82
รูปที่ 4.32 ภาพถ่าย SEM ของพิล์มพลาสติกผสมเจลอาติน 10% ที่มีปริมาณสารช่วยผสม ต่างๆกัน ภายหลังการย่อยสลายด้วยวิธี Activated Sludge เป็นเวลา 4 สัปดาห์ (ก) 5% PE-g-MA (ข) 10% PE-g-MA (ค) 15% PE-g-MA.....	83
รูปที่ 4.33 ภาพถ่ายด้วย SEM แสดงลักษณะพื้นผิวของพิล์มพลาสติกผสมเจลอาติน ภายหลังการย่อยสลายด้วยวิธีการใช้ activated sludge ที่ระยะเวลาต่างๆกัน (ก) 0 สัปดาห์ (ข) 2 สัปดาห์ (ค) 4 สัปดาห์.....	85
รูปที่ 4.34 เปอร์เซ็นต์น้ำหนักที่สูญเสียไปของพิล์มพลาสติกภายหลังการย่อยสลาย ด้วยวิธีการใช้ activated sludge ที่ปริมาณเจลอาตินและระยะเวลาต่างๆกัน.....	87
รูปที่ 4.35 ไดอะแกรมแสดงผลของปริมาณสารช่วยผสมที่มีต่อน้ำหนักที่สูญเสียไป ของพิล์มพลาสติก LLDPE ผสมเจลอาติน	88
รูปที่ 4.36 ไดอะแกรมแสดงผลของระยะเวลาที่มีต่อน้ำหนักที่สูญเสียไป (%) ภายหลังการย่อยสลายด้วยวิธีการใช้ activated sludge	89
รูปที่ 4.37 ไดอะแกรมแสดงอัตราของปริมาณเจลอาตินที่มีต่อค่าความหนาแนงดึง ^{***} ของพิล์มพลาสติกผสมเจลอาตินภายหลังการย่อยสลายด้วยวิธี activated sludge	91
รูปที่ 4.38 ไดอะแกรมแสดงค่าความสามารถในการยึดดึงที่สูดขาดของพิล์มพลาสติก LLDPE ผสมเจลอาตินภายหลังการย่อยสลายด้วยวิธี activated sludge.....	92

สารบัญรูป(ต่อ)

หน้า

รูปที่ 4.39 ภาพแสดงความสัมพันธ์ระหว่างความเค้นและความเครียดของฟิล์มพลาสติก ผสมเจลอะตินบริมาณต่างๆกัน ภายหลังการย่อยสลายด้วยวีรี activated sludge (ก) 5% เจลอะติน (ข) 20% เจลอะติน	92
รูปที่ 4.40 ไดอะแกรมแสดงค่ามอดุลส์ของฟิล์มพลาสติก LLDPE ผสมเจลอะติน ปริมาณต่างๆกันภายหลังการย่อยสลายด้วยวีรี activated sludge 93	
รูปที่ 4.41 ไดอะแกรมแสดงผลของปริมาณสารช่วยผสมที่มีต่อค่าความหนาแน่น ของฟิล์มพลาสติกภายหลังการย่อยด้วยวีรี activated sludge..... 95	
รูปที่ 4.42 ไดอะแกรมแสดงผลของปริมาณสารช่วยผสมที่มีต่อความสามารถในการยึดดึง [*] ที่จุดขาดของฟิล์มพลาสติกภายหลังการย่อยด้วยวีรี activated sludge 95	
รูปที่ 4.43 ไดอะแกรมแสดงผลของปริมาณสารช่วยผสมที่มีต่อค่ามอดุลส์ยึดหยุ่น ของฟิล์มพลาสติกภายหลังการย่อยด้วยวีรี activated sludge..... 96	
รูปที่ 4.44 ภาพถ่ายฟิล์มพลาสติกภายหลังการย่อยสลายด้วยวีรีการใช้เอนไซม์ ที่ระยะเวลาต่างๆกัน ๐ ถึง ๖ ชั่วโมง เรียงลำดับจากซ้ายไปขวา	98
รูปที่ 4.45 ภาพถ่ายด้วย SEM แสดงลักษณะพื้นผิวของฟิล์มพลาสติกผสมเจลอะติน ที่ปริมาณต่างๆภายหลังการย่อยสลายด้วยวีรีการใช้เอนไซม์เป็นเวลา ๖ ชม. (ก) 5% เจลอะติน (ข) 10% เจลอะติน (ค) 20% เจลอะติน	99
รูปที่ 4.46 ภาพถ่าย SEM ของฟิล์มพลาสติกผสมเจลอะติน ๑๐% ที่เติมปริมาณ สารช่วยผสมต่างๆกัน (ก) ๐% PE-g-MA (ข) ๕% PE-g-MA (ค) ๑๐% PE-g-MA (ง) ๑๕% PE-g-MA	101
รูปที่ 4.47 ภาพถ่าย SEM แสดงลักษณะพื้นผิวของฟิล์มพลาสติก LLDPE ผสมเจลอะติน ๑๐% โดยน้ำหนัก ที่ผ่านการย่อยสลายด้วยวีรีการใช้เอนไซม์ที่ระยะเวลา ต่างๆกัน (ก) ๐ ชม. (ข) ๒ ชม. (ค) ๔ ชม. (ง) ๖ ชม.	102
รูปที่ 4.48 ไดอะแกรมแสดงเปอร์เซ็นต์น้ำหนักที่สูญเสียไปภายหลังการย่อยด้วย วีรีการใช้เอนไซม์ของฟิล์มพลาสติก LLDPE ผสมเจลอะตินปริมาณต่างๆกัน....	104
รูปที่ 4.49 ไดอะแกรมแสดงเปอร์เซ็นต์น้ำหนักที่สูญเสียไปภายหลังการย่อยด้วย วีรีการใช้เอนไซม์ของฟิล์มพลาสติก LLDPE ผสมเจลอะติน ที่ปริมาณ สารช่วยผสมต่างๆกัน.....	105

สารบัญชุป(ต่อ)

หน้า

รูปที่ 4.50 ไดอะแกรมแสดงผลของระยะเวลาในการย่อยสลายด้วยวิธีการใช้เอนไซม์ ของพิล์มพลาสติก LLDPE ผสมเจลatin ที่ปริมาณต่างๆกัน	106
รูปที่ 4.51 ไดอะแกรมแสดงผลของปริมาณเจลatin ที่มีต่อค่าความทนแรงดึงของพิล์ม พลาสติก LLDPE ผสมเจลatin ภายหลังการย่อยสลายด้วยวิธีการใช้เอนไซม์..	108
รูปที่ 4.52 ไดอะแกรมแสดงความสามารถในการยึดดึงที่จุดขาดของพิล์มพลาสติก LLDPE ผสมเจลatin ที่ปริมาณต่างๆกัน ภายหลังการย่อยสลายด้วย วิธีการใช้เอนไซม์ ..	109
รูปที่ 4.53 ไดอะแกรมแสดงค่ามอดุลล์ของพิล์มพลาสติก LLDPE ผสมเจลatin ที่ปริมาณ ต่างๆกันภายหลังการย่อยสลายด้วยวิธีการใช้เอนไซม์.....	109
รูปที่ 4.54 ไดอะแกรมแสดงผลของปริมาณสารช่วยผสมที่มีต่อค่าความทนแรงดึง ของพิล์มพลาสติก LLDPE ผสมเจลatin 10% โดยน้ำหนัก ภายหลังการย่อยสลายด้วยวิธีการใช้เอนไซม์.....	111
รูปที่ 4.55 ไดอะแกรมแสดงผลของปริมาณสารช่วยผสมที่มีต่อค่าความสามารถในการ ยึดดึงที่จุดขาดของพิล์มพลาสติก LLDPE ผสมเจลatin 10% โดยน้ำหนัก ภายหลังการย่อยสลายด้วยวิธีการใช้เอนไซม์.....	111
รูปที่ 4.56 ไดอะแกรมแสดงผลของปริมาณสารช่วยผสมที่มีต่อค่ามอดุลล์สึ่งหุ่น ของพิล์มพลาสติก LLDPE ผสมเจลatin 10% โดยน้ำหนัก ภายหลังการย่อยสลายด้วยวิธีการใช้เอนไซม์.....	112

ศูนย์วิทยทรพยากร
จุฬาลงกรณ์มหาวิทยาลัย